

УДК 548.737

**СУПРАМОЛЕКУЛЯРНАЯ АРХИТЕКТУРА КРИСТАЛЛОВ АЗАХАЛЬКОГЕНЕНОВ  
С АРОМАТИЧЕСКИМИ ЗАМЕСТИТЕЛЯМИ**

© 2009 И.Ю. Багрянская\*

*Новосибирский институт органической химии им. Н.Н. Ворожцова СО РАН*

*Статья поступила 20 января 2009 г.*

Впервые проанализированы и систематизированы межмолекулярные взаимодействия в кристаллах разнообразных азахалькогененов с ароматическими заместителями, в том числе полифторированными. Проведен топологический анализ кристаллических упаковок, идентифицированы основные супрамолекулярные мотивы.

**Ключевые слова:** азахалькогенены, полигетероатомные соединения, межмолекулярные взаимодействия, кристаллические упаковки, супрамолекулярные мотивы.

**ВВЕДЕНИЕ**

Азахалькогенены — вещества, содержащие фрагменты из чередующихся атомов азота и халькогена (S, Se, Te), связанные кратной связью. Их отличает чрезвычайное богатство структурных типов [1, 2], а высокая и разнообразная реакционная способность еще не вполне изучена. В нашем предыдущем обзоре [3] по азахалькогененам с ароматическими заместителями была рассмотрена молекулярная структура (преимущественно по данным РСА, ЯМР и квантово-химических расчетов) первых представителей этого класса соединений. Однако в последние годы химия азахалькогененов получила еще большее внимание вследствие своего фундаментального и практического значения [1]. Причем, если раньше основное внимание уделялось молекулярному строению этих соединений, то сейчас на первый план выходят кристаллохимические аспекты в целом из-за востребованности азахалькогененов в материаловедении, в частности в связи с перспективами создания на их основе молекулярных проводников и/или молекулярных магнетиков [4—17].

В настоящем обзоре впервые проведен систематический анализ кристаллических упаковок для 97 азахалькогененов с ароматическими заместителями. Его необходимость вызвана тем фактом, что до сих пор надежное предсказание кристаллических упаковок продолжает оставаться нетривиальной задачей [18]. Наряду с разработкой теоретических подходов к ее решению целесообразен эмпирический анализ кристаллохимических данных, направленный на установление структурных закономерностей, особенно на идентификацию наиболее типичных супрамолекулярных мотивов (например, π-стопки, различного виды цепи и лестницы, слои и паркеты), возникающих в кристаллах за счет межмолекулярных взаимодействий и сохраняющихся при переходе от одного соединения к другому в рамках определенных групп веществ, выделенных по тому или иному химическому признаку (например, наличию π-системы, гетероатомов, т.д.).

Среди синтезированных и структурно охарактеризованных методом РСА азахалькогененов самый обширный класс составляют соединения с чередованием атомов S и N. С ароматическими заместителями они формируют два топологически неэквивалентных подмножества: ненасыщенные цепи и ненасыщенные циклы (см. схему 1).

\* E-mail: bagryan@nioch.nsc.ru

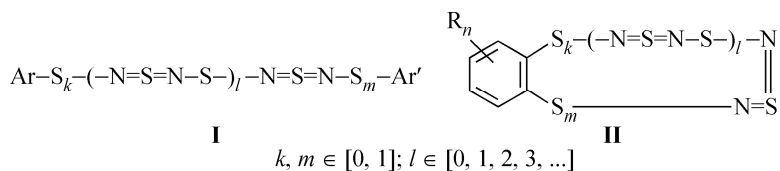


Схема 1

Их специфика —  $\pi$ -избыточность, так как число  $\pi$ -электронов превышает число атомных центров молекулы в результате наличия двух  $\pi$ -электронов на каждом атоме серы. Соединения первого подмножества, особенно протяженные цепи **I** (см. схему 1), являются аналогами полимерного нитрида серы  $(SN)_x$  — молекулярного металла и низкотемпературного сверхпроводника [ 13—15 ]. При плоских молекулярных конформациях в твердом теле они могут стать молекулярными проводами для молекулярных электронных устройств [ 19—22 ]. Соединения второго подмножества, циклические соединения **II** (см. схему 1), образуют последовательный уникальный ряд чередующихся ароматических ( $4n+2$ ) и антиароматических ( $4n$ ) полигетероатомных  $\pi$ -систем.

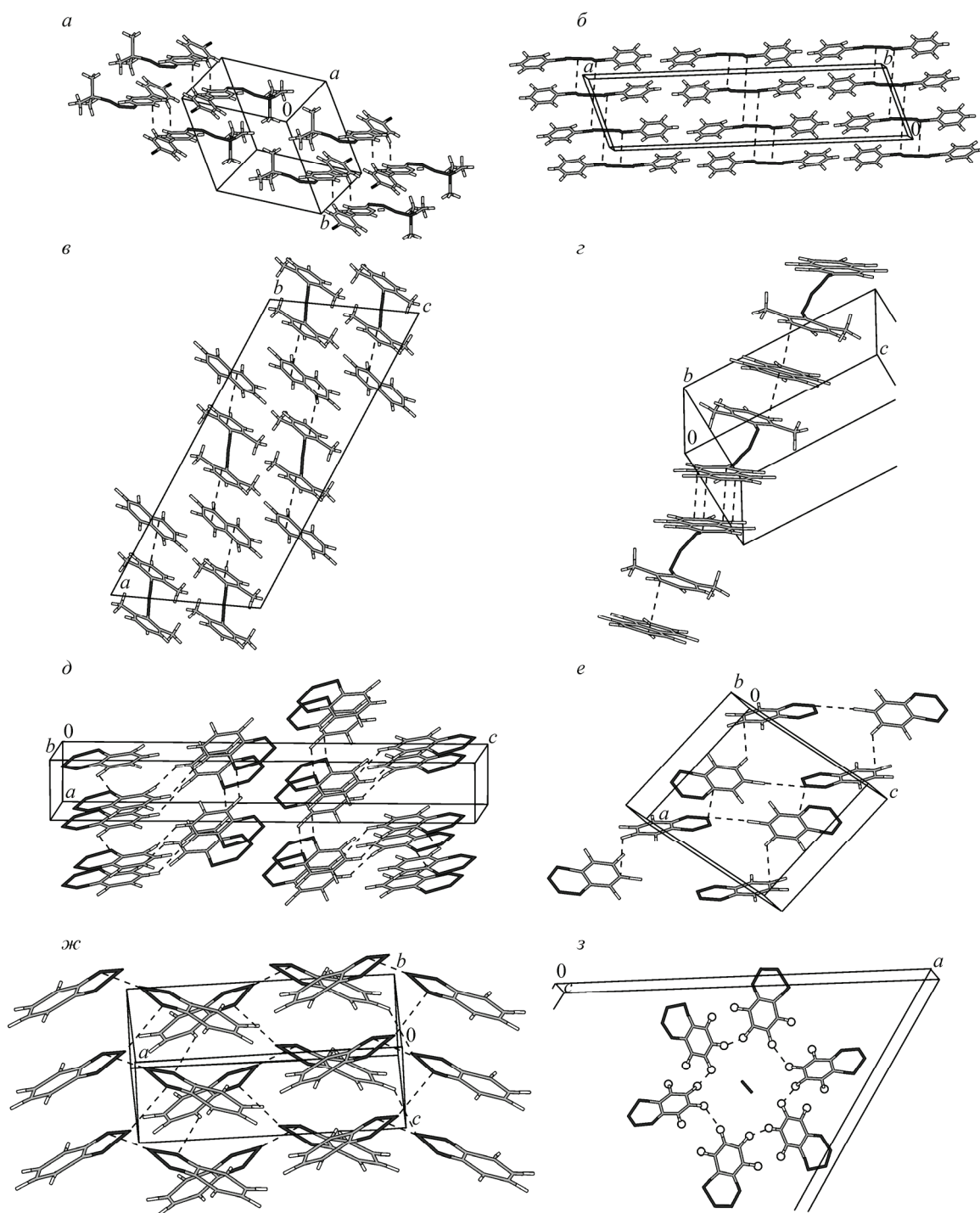
Особое внимание как в первом, так и во втором случае уделяется полифторированным производным. Замена атомов Н на атомы F ведет к образованию новых супрамолекулярных синтонов и мотивов. Если при замене атомов водорода на фтор как правило получаются изоструктурные (подобные) молекулы, то на кристаллическую упаковку замещение фтором часто влияет кардинальным образом [ 23 ].

### ТОПОЛОГИЧЕСКИЙ АНАЛИЗ

Наиболее распространенными являются супрамолекулярные мотивы, образованные за счет водородных связей. Однако в кристаллах соединений, имеющих ароматические фрагменты, более эффективными оказываются невалентные ван-дер-ваальсовы взаимодействия между ароматическими кольцами, прежде всего  $\pi \dots \pi$  ( $\pi$ -стекинг) взаимодействия типа арен-полифторарен, на основе которых уже получены, например, жидкие кристаллы и  $j$ -агрегаты для нелинейной оптики. Другие межмолекулярные взаимодействия относятся к более слабым взаимодействиям, но их огромная роль в формировании кристаллической структуры также не подлежит сомнению [ 24 ]. Поскольку в условиях реального кристалла слабые межмолекулярные взаимодействия зачастую конкурируют между собой либо же, наоборот, действуют совместно, то при описании кристаллической структуры (супрамолекулярной архитектуры) часто возникают трудности с выделением супрамолекулярных мотивов — димерных пар (0D), цепочек (1D), сеток (2D). Основным критерием для выявления межмолекулярных взаимодействий, зафиксированных в активно используемых в настоящее время программах PLATON и MERCURY [ 25 ], является ван-дер-ваальсов (в-д-в) радиус взаимодействующих атомов. При анализе сокращенных (по сравнению с суммой в-д-в радиусов) невалентных контактов использовались значения для в-д-в радиусов, предложенные Роландом и Тейлором [ 26 ].

В данном обзоре описан поиск сокращенных невалентных контактов в азахалькогененах с ароматическими заместителями по Кембриджской базе структурных данных (КБСД) [ 27 ] с использованием программы PLATON и MERCURY. На этой основе выполнен топологический анализ кристаллических упаковок, выделены супрамолекулярные мотивы, возникающие в кристаллах азахалькогененов за счет межмолекулярных взаимодействий.

Наиболее удобным способом описания супрамолекулярной архитектуры упаковок нам представилась методика, предложенная в работах М. Заворотко и Б. Моултона [ 28 ], где конечные супрамолекулярные мотивы характеризуются как 0D супрамолекулярная архитектура (например, димеры); одномерные бесконечные мотивы — 1D (например,  $\pi$ -стопки и различные цепи); двумерные сетки и паркетные слои — 2D; трехмерные сетки и паркеты — 3D-супрамолекулярная архитектура (например,  $\pi$ -стопки, связанные между собой другими межмолеку-



Кристаллические упаковки некоторых азахалькогененов с ароматическими заместителями: *a* — 0D димеры за счет C—H... $\pi$ -взаимодействия (**15**), *b* — 1D цепи за счет взаимодействий S...N и C—H... $\pi$  (**39**), *в* — 1D стопки за счет  $\pi$ -стекинг-взаимодействия между пинцетоподобной молекулой и ОФН (**27**), *г* — 1D стопки за счет  $\pi$ -стекинг-взаимодействий типа арен...полифторарен и полифторарен...полифторарен (**25**), *д* — 2D сетки, в том числе за счет C—F... $\pi$  (**77**), *е* — 3D каркас, в том числе за счет C—F... $\pi$  (**67**), *жс* — 3D каркас, демонстрирующий паркетно-стопочную укладку молекул (**86**), *з* — "фторные нанотрубки", пример F-агрегации (**83**)

лярными взаимодействиями). На рисунке приведены примеры различных супрамолекулярных мотивов: *a* — 0D-димеры, *б* — 1D-цепи, *в* и *г* — 1D-стопки, *д* — 2D-сетки, *е* и *ж* — 3D-каркасы, *з* — "фторные нанотрубки" (см. вывод 9).

Молекулы подмножества **II** (см. схему 1) — полициклические ароматические соединения, имеющие  $\pi$ -делокализованную электронную плотность. Эти молекулы, как правило, плоские или близки к таковым. Между такими молекулами есть две обычно наблюдаемые в кристалле геометрические ориентации (см. схему 2, *а* и *б*).

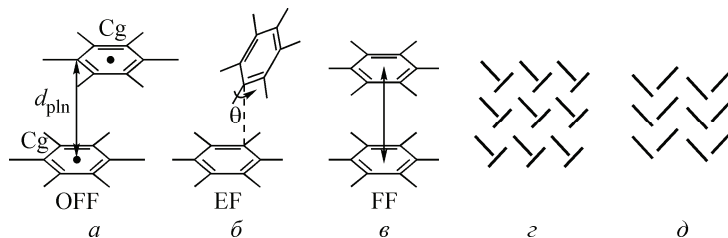


Схема 2

Известные в мировой литературе как "offset-face-to-face" (OFF) и "edge-to-face" (EF) конфигурации [29], в русскоязычной литературе эти конфигурации обычно определяются как "грань-к-грани" со сдвигом и "ребро-к-грани" соответственно. В OFF-геометрии плоскости молекул практически параллельны, но смещены так, чтобы их противоположно заряженные области располагались наиболее благоприятным образом. Классическим примером такого расположения молекул в кристаллах являются  $\pi$ -стопки за счет  $\pi$ -стекинга. В EF-конфигурации (иногда называют Т-форма) относительно положительная водородная окантовка молекулы направлена к отрицательной  $\pi$ -электронной плотности соседней молекулы. Такое расположение молекул дает начало так называемому паркетному способу укладки молекул в кристалле (см. схему 2, *г* и *д*). Строго говоря, паркетной можно назвать и укладку молекул, когда угол  $\theta = 0, 180^\circ$  (см. схему 2, *б*), но в литературе термин "паркет" закрепился за укладкой молекул при  $\theta \neq 0, 180^\circ$ . Таким образом, в табл. 1 и 2 при описании супрамолекулярной архитектуры термин "паркетная упаковка" будет отнесен к укладке молекул (димеров, цепей, стопок) под углом друг к другу  $\theta \neq 0, 180^\circ$  (см. рисунок, *д*, *е* и *ж*), а термин "слоистая упаковка", когда плоскости всех молекул в кристалле практически параллельны друг другу (см. схему 2, *а*, *в* и рисунок, *б* и *з*). Термин "паркетно-стопочный" ("елочный") будет отнесен к укладке молекул, показанной на схеме 2, *д*. На схеме 2, *в* показан третий геометрический тип укладки ароматических молекул — FF-конфигурация ("face-to-face", или "грань-к-грани"), в котором параллельно расположенные молекулы не смещены относительно друг друга. Для пары идентичных молекул эта конфигурация по электростатическим причинам невыгодна и не наблюдается. Однако если две ароматические молекулы, участвующие в  $\pi$ -стекинг-взаимодействии, различны или содержат гетероатомы и/или заместители, то FF-геометрия может стать минимумом энергии.

В табл. 1 представлены результаты топологического анализа кристаллических упаковок ациклических соединений, в табл. 2 — циклических. Для  $\pi \dots \pi$ -взаимодействий приведены межцентроидные расстояния ( $Cg \dots Cg$ ), а также межплоскостные —  $d_{pln}$  (см. схему 2, *а*). Для невалентных контактов атомов с  $\pi$ -системами соседних молекул ( $X \dots \pi$ ) даны расстояния от атома до центроида ( $Cg$ ).

### АЦИКЛИЧЕСКИЕ СОЕДИНЕНИЯ

В КБСД были найдены ациклические азахалькогенены с ароматическими заместителями, содержащие азатиеновые цепи следующего вида:  $—N=S=N—$  1—27;  $—S—N=S=N—$  30—33, 35—38;  $—S—N=S=N—S—$  39—41, 43, 44;  $—N=S=N—S—N=S=N—$  46—48;  $—S—N=S=N—$

$S-N=S=N$ —**49** и  $S-N=S=N-S-N=S=N-S$ —**50**, а также некоторые Se-аналоги:  $-Se-N=S=N-Se$ —**42, 45**;  $-N=S=N-Se$ —**32, 34**;  $-N=Se=N$ —**28, 29** (см. табл. 1). В отличие от мономерных соединений  $-N=S=N-$  и  $-N=Se=N-$  их теллурный аналог  $-N=Te=N-$  димеризуется в твердом теле [30, 31]. Отметим, что для азатиенового фрагмента  $-N=S=N-$  возможны три геометрических изомера: Z,Z, Z,E и E,E (см. схему 3). В обзоре [3] отмечалось, что в твердом теле для азатиенов были найдены только изомеры Z,Z, Z,E. К настоящему времени был синтезирован и изучен методом РСА азаселенен **28** (см. табл. 1), который имеет в кристалле E,E-конфигурацию.

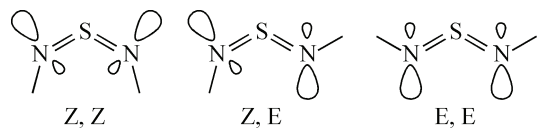


Схема 3

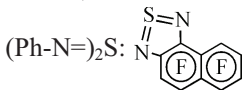
В первом столбце табл. 1 и 2 приводятся номера соединений или комплексов. В ряде случаев были проанализированы кристаллические упаковки сокристаллов азахалькогененов с октафторнафтилином (ОФН) **25—27, 33, 34** и с гексафторнафтотиадиазолом **24**. Во втором столбце таблиц даётся структурная формула соединения, в табл. 1 дополнительно указывается и их молекулярная конфигурация: плоская (исключая конечные группы типа  $Me_3$ ) или неплоская, а также тип молекулярной конфигурации азахалькогеновой цепи. В третьем столбце приводится супрамолекулярная архитектура кристаллической упаковки и наблюдаемый супрамолекулярный мотив, выделенный на основе сокращенных невалентных контактов. В четвертом — типы сокращенных в-д-в контактов и их значения. При наличии нескольких сокращенных контактов для данного типа межмолекулярного взаимодействия приводятся значения min и max. В пятом столбце — рефкод соединения и литературная ссылка.

Таблица 1

*Супрамолекулярная архитектура кристаллов ациклических азахалькогененов<sup>a</sup>*

№	Соединение, конфигурация	Супрамолекулярная архитектура	Сокращенные в-д-в контакты, Å <sup>6</sup>	Рефкод в КБСД, № ссылки
1	2	3	4	5
1	$(p\text{-TolN}=)_2S$ Z,E неплоская	— <sup>b</sup>	—	TOLFMS [32]
2	$(4\text{-PhPhN}=)_2S$ Z,E неплоская	Паркет 3D-каркас	H...π (3,01—3,27); S...π (3,55)	BAZLOD [33]
3	$(TosN=)_2S$ Z,E	—	—	PTOSSM [34]
4	$TosN=S=Ph_F$ Z,E неплоская	Паркетная 3D-каркас	O...π (3,60); F...π (3,63); O...H (2,64);	BIKDII [35]
5	$(Ph_F-N=)_2S$ Z,Z	Паркетно-стопочная 0D (димеры)	π <sub>F</sub> ...π <sub>F</sub> (3,78; $d_{pln}$ 3,43)	POSHAG [36]
6	$(2,6\text{-F}_2Ph-N=)_2S$ Z,Z	Стопочная 1D (стопки)	π <sub>F</sub> ...π <sub>F</sub> (3,70; $d_{pln}$ 3,49)	LORSIU [37]
7	$(2,6\text{-Me}_2Ph-N=)_2S$ Z,Z	Слоистая 1D (цепи)	C—H...π (3,29—3,36)	HEPZOR [38]
8	$2,6\text{-Me}_2Ph-N=S=N-Ph_F$ Z,Z	Стопочная 1D (стопки)	π...π (3,64; $d_{pln}$ 3,49)	POSGOT [36]

Продолжение табл. 1

1	2	3	4	5
9	(2,4,6-Br <sub>3</sub> Ph-N=) <sub>2</sub> S Z,E неплоская	Слоистая 1D (цепи)	π...π (3,58—3,65; $d_{\text{pln}}$ 3,45—3,46)	HEPZIL [ 38 ]
10	(2,6-Cl <sub>2</sub> Ph-N=) <sub>2</sub> S Z,Z	Паркетная 1D (цепи из димеров)	π...π (3,64; $d_{\text{pln}}$ 3,51)	LORSOA [ 37 ]
11	(2,4,6-tBu <sub>3</sub> Ph-N=) <sub>2</sub> S Z,E неплоская	Слоистая 1D (цепи)	H...π (2,89, 3,14)	BEQHEK [ 39 ]
12	(2-NO <sub>2</sub> Ph-N=) <sub>2</sub> S Z,Z	Слоисто-стопочная 3D-каркас	π...π (3,72; $d_{\text{pln}}$ 3,45), S...O (3,21); O...H (2,58)	BEQHAG [ 39 ]
13	Ph-N=S=N-Ph <sub>F</sub> Z,E плоская	Паркетная 0D (димеры)	C—F...π (3,53)	POSGUZ [ 36 ]
14	2,6-Me <sub>2</sub> Ph-N=S=N-PhBr3-2,4,6 Z,Z	Паркетная 3D-каркас	π...π (3,66—3,72; $d_{\text{pln}}$ 3,55—3,59); C—H...π (2,90); Br...Br (3,43—3,47)	HEPZUX [ 38 ]
15	4-IPh-PhN=S=NSiMe <sub>3</sub> Z,E неплоская	Слоистая 0D (димеры)	C—H...π (3,38)	MOVBEI [ 40 ]
16	4-MeOPh-N=S=N-Pr <sub>F</sub> Z,E плоская	Слоисто-стопочная 3D-каркас	S...π (3,56); N...π (3,52); N...H (2,66)	NEMHAO [ 41 ]
17	2,6-Me <sub>2</sub> Ph-N=S=N-Pr <sub>F</sub> Z,Z	Стопочная 1D (стопки)	π <sub>F</sub> ...π (3,63—3,69; $d_{\text{pln}}$ 3,32—3,52)	NEMHES [ 41 ]
18	(4-FPh-N=) <sub>2</sub> S Z,E плоская	Слоисто-стопочная 3D-каркас	π <sub>F</sub> ...π (3,69; $d_{\text{pln}}$ 3,37); F...π (3,59); H...π (2,87)	NEMHUI [ 41 ]
19	(Ph <sub>2</sub> -AsN=) <sub>2</sub> S	Паркетная 3D-каркас	C—H...π (2,92)	COSJID [ 42 ]
20	(NfN=) <sub>2</sub> S Z,E плоская	Паркетная 2D (слои)	C—H...π (3,17—3,38); S...π (3,74); N...π (3,48)	SOLPOY [ 43 ]
21	(2-OMePh-N=) <sub>2</sub> S Z,Z	Паркетная 3D-каркас	C—H...π (2,86—3,11)	SOLPEO [ 43 ]
22	Ph <sub>3</sub> SiN=S=NSiMe <sub>3</sub> Z,E неплоская	Паркетная 2D (сетки)	C—H...π (2,99—3,23)	HOVYIA [ 44 ]
23	Адамантан-N=S=N-Pr <sub>F</sub> Z,E неплоская	Паркетная 3D-каркас	S...S (3,52); F...F (2,74); S...F (3,29)	RUXKIE [ 45 ]
24	(Ph-N=) <sub>2</sub> S:  Z,E неплоская	Стопочная 1D (стопки)	π...π (3,54—3,73; $d_{\text{pln}}$ 3,33—3,40)	NEMHIW [ 41 ]
25	OФН-N=S=N-PhMe-2,6 : OФН Z,Z	Стопочная 1D (стопки)	π...π <sub>F</sub> (3,76; $d_{\text{pln}}$ 3,32—3,53); π <sub>F</sub> ...π <sub>F</sub> (3,50; $d_{\text{pln}}$ 3,27); S...F (3,18)	NEMHOC [ 41 ]
26	PhN=S=N-SiMe <sub>3</sub> : OФН Z,E плоская	Стопочная 1D (стопки)	π...π <sub>F</sub> (3,61—3,63; $d_{\text{pln}}$ 3,38—3,43)	MOZTIE [ 46 ]
27	(2,6-Me <sub>2</sub> Ph-N=) <sub>2</sub> S : OФН Z,Z	Стопочная 1D (стопки)	π...π <sub>F</sub> (3,75, $d_{\text{pln}}$ 3,34—3,56)	MOZSUP [ 46 ]
28	(2,4,6-tBu <sub>3</sub> Ph-N=) <sub>2</sub> Se E,E	—	—	JALKAJ [ 47 ]
29	(Адамантан-N=) <sub>2</sub> Se Z,E неплоская	Слоистая 2D (сетки)	Se...Se (3,59)	MOTGAD [ 48 ]
30	Me <sub>3</sub> Si-N=S=N-S-PhNO <sub>2</sub> -4 Z,E плоская	Слоистая 1D (цепи)	C—H...O (2,53)	KEBKEH [ 49 ]

О к о н ч а н и е т а б л . 1

1	2	3	4	5
31	Me <sub>3</sub> Si-N=S=N-S-Ph Z,E неплоская	Паркетная 1D (цепи)	C—H... Т С (2,80—2,96)	GEDTUF [ 50 ]
32	Me <sub>3</sub> Si-N=S=N-Se-Ph Z,E неплоская	Паркетная 1D (цепи)	C—H... Т С (2,82—2,99)	GEDVAN [ 50 ]
33	Me <sub>3</sub> Si-N=S=N-S-Ph:OФН Z,E плоская	Стопочная 1D (стопки)	π... π <sub>F</sub> (3,59—3,64; <i>d</i> <sub>pln</sub> 3,43—3,48)	GEDVER [ 50 ]
34	Me <sub>3</sub> Si-N=S=N-Se-Ph:OФН Z,E плоская	Стопочная 1D (стопки)	π... π <sub>F</sub> (3,65—3,66; <i>d</i> <sub>pln</sub> 3,45—3,51)	GEDVIV [ 50 ]
35	Me <sub>3</sub> Si-N=S=N-S-PhNO <sub>2</sub> -2 Z,E плоская	Слоистая 0D (димеры)	N—O... H (2,54)	WADLIW [ 51 ]
36	Ph-N=S=N-S-Ph Z,E неплоская	Паркетная 1D (цепи)	C—H... π (2,74—3,03)	TOSVIG [ 52 ]
37	Me <sub>3</sub> Si-N=S=N-S-PhF <sub>4</sub> -3,4,5,6 Z,E плоская	Слоистая 1D (цепи)	S... π (3,56—3,79)	LUTLUH [ 53 ]
38	2,4,6-tBu <sub>3</sub> Ph-S-N=S=NH Z,E неплоская	Паркетная 1D (цепи)	N... H—N (2,28)	AHEFEY [ 54 ]
39	(PhSN=) <sub>2</sub> S Z,Z	Слоистая 1D (цепи)	S... S (3,57) C—H... π (2,89—2,98)	DPTSIM [ 55 ]
40	(4-ClPh-S-N=) <sub>2</sub> S Z,Z	Слоистая 2D (сетки)	Cl... Cl (3,29)	CPATHP [ 56 ]
41	(Ph <sub>F</sub> -S-N=) <sub>2</sub> S Z,Z	3D-каркас	C—F... π (3,33—3,71) F... F (2,72—2,78)	RIDGOB [ 57 ]
42	(Ph-Se-N=) <sub>2</sub> S Z,Z	Слоистая 2D (сетки)	C—H... π (2,93—2,99); Se... Se (3,42); S... Se (3,66)	XASBID [ 58 ]
43	(4-CF <sub>3</sub> Ph <sub>F</sub> -S-N=) <sub>2</sub> S Z,Z	2D (сетки)	C—F... π (3,42—3,57); S... S (3,21—3,49); F... S (3,21)	RIDGUH [ 57 ]
44	(2,4,6-tBu <sub>3</sub> Ph-S-N=) <sub>2</sub> S Z,Z	1D (цепи)	C—H... π (3,01—3,03)	RIDHAO [ 57 ]
45	(Ph <sub>F</sub> -Se-N=) <sub>2</sub> S Z,Z	2D (сетки)	C—F... π (3,42—3,81); S... Se (3,69)	RIDHES [ 57 ]
46	(PhN=S=N-) <sub>2</sub> S Z,E,Z,E плоская	Паркетная 1D (цепи)	S... π (3,62); N... π (3,48)	SISCAY [ 59 ]
47	(PhSO <sub>2</sub> N=S=N-) <sub>2</sub> S E,Z,Z,E неплоская	Паркетная 3D-каркас	S... O (2,92—3,26); C—H... π (3,08—3,21)	DOMDUE [ 60 ]
48	(Ph <sub>3</sub> As=NSO <sub>2</sub> N=S=N-) <sub>2</sub> S E,Z,Z,E неплоская	—	—	BAWJEO [ 61 ]
49	Me <sub>3</sub> Si-N=S=N-S-N=S=N-S-PhNO <sub>2</sub> -2 Z,E,Z,E плоская	Паркетная 0D (димеры)	C—H... π (2,86)	WADLES [ 51 ]
50	(pToi-S-N=S=N) <sub>2</sub> S Z,Z-S-E,Z неплоская	Слоистая 1D (цепи)	S... S (3,54)	VILMIM [ 62 ]

<sup>a</sup> Обозначения Me, Ph, Tol, Ph<sub>F</sub> — стандартные; Tos обозначает 1-метил-4-сульфонилфенил; 2,6-Me<sub>2</sub>Ph обозначает 2,6-диметилфенил, 2,4,6-Br<sub>3</sub>Ph — 2,4,6-трибромфенил, ОФН — октафторнафталин и т.д.

<sup>b</sup> При наличии нескольких сокращенных контактов приводятся min и max значения.

<sup>c</sup> Знак “—” обозначает отсутствие координат в КБСД.

### ЦИКЛИЧЕСКИЕ СОЕДИНЕНИЯ

В КБСД были найдены ароматические производные следующих циклических азатиенов: 2,1,3-бензотиадиазолы с 10  $\pi$ -электронами, 1,3,2,4-бензодитиадиазины с 12  $\pi$ -электронами и 1,3,5,2,4-бензотритиадиазепины с 14  $\pi$ -электронами. Высшие родственники с 16, 18, 20 и т.д.  $\pi$ -электронами все еще неизвестны. Однако их существование при нормальных условиях, по-видимому, "не запрещено", как отмечено в обзоре [ 63 ]. Для 2,1,3-бензотиадиазолов известны и Se- и Te-аналоги 64, 86—91, 93—97 (см. табл. 2), супрамолекулярной химии которых в настоящее время уделяется большое внимание [ 64, 65 ].

Среди циклических азахалькогененов 1,3,2,4-бензодитиадиазины с 12  $\pi$ -электронами 66—80 являются самыми интересными, так как они комбинируют формальные признаки антиароматичности с умеренной термической стабильностью. В обзоре [ 63 ] рассмотрены методы синтеза, молекулярная и  $\pi$ -электронная структура, спектральные свойства и реакционная способность производных 1,3,2,4-бензодитиадиазина, в том числе и полифторированных. В работе [ 66 ] посредством топологического анализа электронной плотности (ЭП) по теории QTAIM и теоретического моделирования кристаллических упаковок в приближении OPiX изучены межмолекулярные взаимодействия и структурная дихотомия в кристаллах 1,3,2,4-бензодитиадиазинов, выражаяющаяся в том, что у одних производных гетероцикл планарен, а у других — изогнут. Показано, что в условиях слабых межмолекулярных взаимодействий в кристалле молекулы 1,3,2,4-бензодитиадиазинов сохраняют изогнутые конформации, характерные для газовой фазы; сильные межмолекулярные взаимодействия приводят к планарным конформациям.

Таблица 2

*Супрамолекулярная архитектура кристаллов циклических азахалькогененов*

№	Соединение	Супрамолекулярная архитектура	Сокращенные в-д-в контакты, Å	Рефкод в КБСД, № ссылки
1	2	3	4	5
51		Слоистая 2D (сетки)	S...O (3,19—3,27); S...N (2,89)	OXTZOL [ 67 ]
52		Паркетная 3D-каркас	Br...N (3,10—3,24); S...N (3,06); N...π (3,66)	POJNUX [ 68 ]
53		Паркетно-стопочная 2D (сетки из стопок)	π...π (3,58, d_pln 3,45), H...π (2,99)	ZAGMOJ [ 69 ]
54		Паркетно-стопочная 3D-каркас (сетки из стопок)	π...π (3,75; d_pln 3,44); S...S(3,20); S...N (3,11); N...H (2,66)	BEZPOM [ 70 ]
55		Слоисто-стопочная 3D-каркас (сетки из стопок)	π...π (3,58—3,62; d_pln 3,41—3,42); S...N (3,13); N...H (2,71)	CISMOG [ 71 ]
56		—	—	DEKFUU [ 72 ]
57		Паркетно-стопочная 3D-каркас (сетки из стопок)	π...π (3,62; d_pln 3,37); S...S (3,36—3,58); S...N (2,92—3,34)	HEHQUG [ 73 ]
58		Слоисто-стопочная 2D (сетки из стопок)	π...π (3,40—3,65; d_pln 3,33); S...S (3,35); S...N (3,02, 3,07)	NEWYET [ 74 ]

П р о д о л ж е н и е т а б л . 2

1	2	3	4	5
59		Паркетная 3D-каркас	$\pi \dots \pi$ (3,41—3,64); $d_{\text{pln}}$ 3,28—3,53); S...S (3,54); S...N (3,98—3,22); S...O (3,18); O...H (2,53, 2,66)	NEWYIX [ 74 ]
60		Паркетная 2D (сетки) S...N	H... $\pi$ (2,58); N... $\pi$ (3,59); S...N (3,20); S...H (3,07)	HULHIF [ 75 ]
61		—	—	WERGOP [ 76 ]
62		Слоистая 1D (стопки)	$\pi \dots \pi$ (3,57; $d_{\text{pln}}$ 3,54); S... $\pi$ (3,86)	CURCAT [ 77 ]
63		Паркетно-стопочная 3D-каркас (сетки из стопок)	$\pi \dots \pi$ (3,45—3,71; $d_{\text{pln}}$ 3,40); S... $\pi$ (3,50—3,74) S...S (3,47); S...N (3,02—3,10)	CADPOM [ 78 ]
64		Слоисто-стопочная 3D-каркас (сетки из стопок)	$\pi \dots \pi$ (3,74—3,77; $d_{\text{pln}}$ 3,32—3,51); Se...N (2,93—2,95); N...H (2,61)	CISMUM [ 71 ]
65		Паркетная 3D-каркас	F... $\pi$ (3,01—3,53); S...N (3,15); F...F (2,72)	MAVQAC [ 79 ]
66		Паркетно-стопочная 2D (сетки из стопок)	S... $\pi$ (3,61—3,67); S...S (3,46—3,52)	DOVCAS [ 80 ]
67		Паркетная 3D-каркас	F... $\pi$ (3,39); S...S (3,57); S...F (3,15)	JOZKIS [ 81 ]
68		Слоисто-стопочная 1D (стопки)	$\pi \dots \pi$ (3,63—3,73; $d_{\text{pln}}$ 3,42—3,54)	KIQVEL [ 82 ]
69		Слоистая 2D (сетки)	S...S (3,59); S...N (3,23); F...F (2,92)	KIQVOV [ 82 ]
70		Паркетно-стопочная 1D (стопки)	$\pi \dots \pi$ (3,67; $d_{\text{pln}}$ 3,45—3,51)	MOTZEA [ 82 ]
71		Паркетная 3D-каркас	N...H (2,56), N...Br (3,31); S...S (3,58)	MOTZIE [ 40 ]
72		Слоисто-стопочная 2D (сетки из стопок)	$\pi \dots \pi$ (3,74; $d_{\text{pln}}$ 3,41); N...H (2,48—2,71)	MOTZOK [ 40 ]
73		Паркетная 1D (цепи)	Br... $\pi$ (3,86)	MOTZUQ [ 40 ]
74		Паркетная 1D (цепи) C—H... $\pi$	$\pi \dots \pi$ (3,64; $d_{\text{pln}}$ 3,45); C—H... $\pi$ (2,87),	MOVBAA [ 40 ]
75		Слоисто-стопочная 3D-каркас (сетки из димеров)	$\pi \dots \pi$ (3,73; $d_{\text{pln}}$ 3,44); O...H (2,43)	KIQVIP [ 82 ]
76		Слоисто-стопочная 3D-каркас (сетки из стопок)	$\pi_F \dots \pi_F$ (3,62—3,64; $d_{\text{pln}}$ 3,41—3,40); N...S (3,23)	LUTLER [ 53 ]

Продолжение табл. 2

1	2	3	4	5
77		Паркетная 2D (сетки)	C—F...π (3,54—3,57); S...F (3,04)	LUTLOB [ 53 ]
78		Паркетно-стопочная 2D (сетки из стопок)	C—H...π (3,37); H...F (2,59); F...F (2,83)	LUTLIV [ 53 ]
79		Слоисто-стопочная 1D (стопки)	π...π (3,64; $d_{\text{pln}}$ 3,53—3,56)	KIQVUB [ 82 ]
80		Паркетная 0D (димеры)	C—H...π (2,62)	FINLAQ [ 88 ]
81		Паркетно-стопочная 1D (стопки)	C—F...π (3,53)	RIVHAF [ 84 ]
82		Слоистая 2D (сетки)	I...N (3,38); S...I (3,72)	NEPJIB [ 85 ]
83		Слоисто-стопочная 3D-каркас (сетки из стопок)	F...π (3,38); Se...Se (3,61), F...F (2,85—2,89)	RECDIN [ 86 ]
84		Паркетная 3D-каркас	π...π (3,85; $d_{\text{pln}}$ 3,26); C—F...π (3,22—3,64); S...N (3,25); F...F (2,78—2,89)	ZECYUB [ 87 ]
85		Слоисто-стопочная 3D-каркас (сетки из стопок)	π...π (3,70—3,78; $d_{\text{pln}}$ 3,38); N...π (3,56); S...S (3,54); S...N (3,11)	MAVQIK [ 79 ]
86		Паркетно-стопочная 3D-каркас (сетки из стопок)	π...π (3,62; $d_{\text{pln}}$ 3,58); Se...N (3,15); N...H (2,70)	BESEAZ01 [ 88 ]
87		Слоистая 2D (сетки)	Se...N (2,95), C—H...π (2,73)	DPSEAZ [ 89 ]
88		Паркетно-стопочная 3D-каркас (сетки из стопок)	π...π (3,6S—3,87; $d_{\text{pln}}$ 3,45—3,55); Se...Se (3,77); Se...O (3,10); Se...N (2,88); O...H (2,5S)	ANQ3DZ [ 90 ]
89		—	—	BOFYAW [ 91 ]
90		Паркетная 2D (сетки)	Se...N (2,98), N...H (2,72), C—H...π (2,85—2,99)	XOQBKA [ 92 ]
91		3D-каркас	Se...N (2,96—2,98); C—H...π (2,67—2,81)	SAYKIN [ 98 ]
92		Паркетно-стопочная 2D (сетки из стопок)	π...π (3,65—3,86; $d_{\text{pln}}$ 3,42); N...H (2,72)	NPSELC10 [ 94 ]

Окончание табл. 2

1	2	3	4	5
93		Паркетно-стопочная 2D (сетки из стопок)	$\pi \dots \pi$ (3,58—3,87); $d_{\text{pln}}$ 3,41—3,48); Se...N (2,90)	NAPSEZ10 [ 95 ]
94		Паркетная 2D (сетки)	Te...Te (3,96), Te...N (2,76), N...N (2,79)	CESSAU [ 96 ]
95		Паркетно-стопочная 2D (сетки из стопок)	$\pi \dots \pi$ (3,87); $d_{\text{pln}}$ 3,66—3,73); Te...Te (3,90); Te...N (2,68, 2,72); N...N (2,71—2,73)	DEBHEY [ 53 ]
96		Слоисто-стопочная 3D-каркас (сетки из стопок)	$\pi \dots \pi$ (3,58; $d_{\text{pln}}$ 3,51); Te...Te (3,83); Te...N (2,68, 2,70); N...N (2,78); N...H (2,55); Te...Br (3,61—3,68)	DEBHIC [ 53 ]
97		Слоисто-стопочная 3D-каркас (сетки из стопок)	$\pi \dots \pi$ (3,69—3,84); $d_{\text{pln}}$ 3,32—3,58); Te...Te (3,98); Te...N (2,83); Te...H (3,04—3,06)	FELPUH [ 97 ]

## ВЫВОДЫ

Используя супрамолекулярный подход, впервые были проанализированы и систематизированы межмолекулярные взаимодействия в кристаллах разнообразных азахалькогененов с ароматическими заместителями, в том числе полифторированными. Исходя из результатов можно сделать следующие выводы.

1. Молекулы азахалькогененов с ароматическими заместителями в кристаллах чаще всего предпочитают супрамолекулярные мотивы стопочного характера, образуя за счет  $\pi$ -стекинг взаимодействий либо 1D супрамолекулярный мотив (бесконечная стопка), либо 0D супрамолекулярный мотив (димерная пара), либо 2D и 3D супрамолекулярные мотивы, когда стопки или пары дополнительно связаны между собой сокращенными ван-дер-ваальсовыми контактами. В  $\pi$ -стопках в основном наблюдается геометрическая укладка молекул по типу OFF.

2. Наряду с  $\pi$ -стекинг-взаимодействием типа арен...полифторарен (см. рисунок, в), в кристаллах этих соединений наблюдаются  $\pi \dots \pi$ -взаимодействия других типов: арен...гетероарен (например, 83—86, 95—97), гетероарен...гетероарен (например, 54, 55, 57, 59, 63, 66) и наиболее редко встречающееся полифторарен...полифторарен (например, 5, 6, 18, 25 (см. рисунок, г), 76).

3. Межплоскостные расстояния для всех типов  $\pi \dots \pi$ -взаимодействий варьируются от 3,26 до 3,59 Å, межцентроидные расстояния — от 3,41 до 3,85 Å. Можно сравнить со значениями для взаимодействия арен...полифторарен в комплексе бензол—гексафторбензол: межплоскостное расстояние 3,40 Å, межцентроидное — 3,76 Å [ 100 ].

4. Также этим соединениям присущи супрамолекулярные мотивы за счет межмолекулярных контактов отдельных атомов и  $\pi$ -систем соседних молекул (в первую очередь это взаимодействие C—H... $\pi$  (например, 2, 7, 11, 14, 15, 18—22 и т.д.). Расстояния H...Cg (центройд соседней  $\pi$ -системы) находятся в диапазоне от 2,47 до 3,38 Å. Наблюдается также C—F... $\pi$ -взаимодействие в соединениях 13, 18, 41, 43, 45, 67, 77, 78, 81, 84. Расстояния F...Cg находятся в диапазоне от 3,01 до 3,71 Å.

5. Во многих кристаллических упаковках азахалькогененов наблюдаются сокращенные ван-дер-ваальсовые контакты халькоген...халькоген (например, в циклических 63, 66, 85, 88, 94—97 и т.д.), халькоген...N, халькоген...H.

6. Для полифторированных соединений также необходимо отметить, помимо невалентных взаимодействий F...Н и F...халькоген, наличие сокращенных контактов F...F. Хотя, согласно устоявшемуся мнению, фтор не участвует в образовании коротких межмолекулярных расстояний, в соединениях **23**, **41**, **65**, **69**, **78**, **83**, **84** наблюдаются сокращенные контакты F...F в диапазоне от 2,72 до 2,91 Å (удвоенный в-д-в радиус F 2,92 Å [ 26 ]).

7. Выявлены новые уникальные супрамолекулярные мотивы для ациклических азахалькогененов, в которых существенно непланарные (пинцетоподобные, с Z,Z-конфигурацией азатиеновой цепи) молекулы участвуют в π-стекинг-взаимодействиях разных типов: **5**, **6**, **8**, **10**. Были также получены комплексы таких соединений с ОФН за счет π-стекинг-взаимодействия арен...полифторарен: **25**, **27**.

8. Неплоские в гомокристаллах ациклические азахалькогенены **31**, **32** в комплексе с ОФН становятся плоскими **33**, **34**.

9. Отметим, что в полифторированных бензодихалькодиазинах **67**, **69**, **76—78**, **83** наблюдается F-агрегация [ 98, 99 ]. Например, нетривиальная особенность кристаллической упаковки 5,6,7,8-тетрафтор-3,1,2,4-бензотиаселенадиазина **83** — наличие сквозных канальных полостей с радиусом 2,47—2,79 Å и объемом элементарной ячейки 306 Å<sup>3</sup> [ 86 ]. Внутренние стенки полостей образованы только атомами F ("фторные нанотрубки"). В связи с тем что эксперимент проводился при низкой температуре, в эти полости из внешней среды внедрились молекулы азота N<sub>2</sub>.

Работа выполнена при финансовой поддержке Российского фонда фундаментальных исследований (проекты 06-03-32229 и 09-03-00361).

#### СПИСОК ЛИТЕРАТУРЫ

- Chivers T. A Guide to Chalcogen – Nitrogen Chemistry. – New Jersey: World Scientific, 2005. – P. 318.
- Greenwood N.N., Earnshaw A. Chemistry of the Elements. – Butterworth-Heinemann, 1997. – P. 1340.
- Багрянская И.Ю., Гатилов Ю.В., Зибарев А.В. // Журн. структур. химии. – 1997. – **38**, № 5. – С. 988.
- Awaga K., Tanaka T., Shirai T. // C. R. Chimie. – 2007. – **10**. – P. 52.
- Deumal M., LeRoux S., Rawson J.M. et al. // Polyhedron. – 2007. – **26**. – P. 1949.
- Rawson J.M., Alberola A., Whalley A. // J. Mater. Chem. – 2006. – **16**. – P. 2560.
- Brusso J.L., Cvrkalj K., Leitch A.A. et al. // J. Amer. Chem. Soc. – 2006. – **128**. – P. 15080.
- Vlasyuk I.V., Bagryansky V.A., Gritsan N.P. et al. // Phys. Chem. Chem. Phys. – 2001. – **3**. – P. 409.
- Leitch A.A., Reed R.W., Robertson C.M. et al. // J. Amer. Chem. Soc. – 2007. – **129**. – P. 7903.
- Leitch A.A., Brusso J.L., Cvrkalj K. et al. // Chem. Commun. – 2007. – P. 3368.
- Cameron T.S., Decken A., Kowalczyk R.M. et al. // Ibid. – 2006. – P. 2277.
- Decken A., Mattar S.M., Passmore J. et al. // Inorg. Chem. – 2006. – **45**. – P. 3878.
- Kurmaev E.Z., Poletaev A.I., Anisimov V.I. et al. // Physica C. – 1999. – **321**. – P. 191.
- Banister A.J., Gorrell I.B. // Adv. Mater. – 1998. – **10**. – P. 1415.
- Labes M.M., Love P., Nichols L.F. // Chem. Rev. – 1979. – **79**. – P. 1.
- Ikorskii V.N., Irtegova I.G., Lork E. et al. // Eur. J. Inorg. Chem. – 2006. – P. 3061.
- Makarov A.Yu., Irtegova I.G., Vasilieva N.V. et al. // Inorg. Chem. – 2005. – **44**. – P. 7194.
- Motherwell W.D.S., Ammon H.L., Dunitz J.D. et al. // Acta Crystallogr. – 2002. – **B58**. – P. 647.
- Modelli A., Venuti V., Scagnolari F. et al. // J. Phys. Chem. A. – 2001. – **105**. – P. 219.
- Rawson J.M., Longridge J.J. // Chem. Soc. Rev. – 1997. – **26**. – P. 53.
- Zibarev A.V., Miller A.O., Gatilov Yu.V., Furin G.G. // Heteroat. Chem. – 1990. – P. 443.
- Scherer O.J., Wolmershaeuser G., Jotter R. // Z. Naturforsch., Teil B. – 1982. – **37**. – S. 432.
- Marten J., Seicher W. et. al. // Cryst. Eng. Commun. – 2008. – **10**. – P. 541.
- Зоркий П.М. // Соросовский образовательный журнал. – 2001. – **7**, № 1. – С. 53.
- Spek A.L. // J. Appl. Crystallogr. – 2003. – **36**, N 1. – P. 7; Macrae C.F., Edgington P.R., McCabe P. et al. // Ibid. – 2002. – **39**, N 3. – P. 453.
- Rowland R.S., Taylor R. // J. Phys. Chem. – 1996. – **100**. – P. 7384.
- Allen F.H. // Acta Crystallogr. – 2002. – **B58**. – P. 380.
- Moulton B., Zaworotko J. // Chem. Rev. – 2001. – **101**. – P. 1629.
- Hunter Ch.A., Sanders J.K.M. // J. Amer. Chem. Soc. – 1990. – **112**. – P. 5525.
- Sandblom N., Ziegler T., Chivers T. // Inorg. Chem. – 1998. – **37**. – P. 354.

31. Chivers T., Gao X., Parvez M. // *Ibid.* – 1996. – **35**. – P. 9.
32. Leandri G., Busetti V., Valle G., Mammi M. // *J. Chem. Soc. D.* – 1970. – P. 413.
33. Busetti V. // *Acta Crystallogr., Sect. B: Struct. Crystallogr. Cryst. Chem.* – 1982. – **38**. – P. 665.
34. Gieren A., Pertlik F. // *Eur. Crystallogr. Meeting.* – 1974. – P. 303.
35. Munsterer H., Kresze G., Lamm V., Gieren A. // *J. Org. Chem.* – 1983. – **48**. – P. 833.
36. Bagryanskaya I.Yu., Gatilov Yu.V., Shakirov M.M., Zibarev A.V. // *Mendeleev Commun.* – 1994. – P. 167.
37. Багрянская И.Ю., Гатилов Ю.В., Зубарев А.В. // Журн. структур. химии. – 1999. – **40**, № 4. – С. 790.
38. Bagryanskaya I.Yu., Gatilov Yu.V., Shakirov M.M., Zibarev A.V. // *Mendeleev Commun.* – 1994. – N 4. – P. 136.
39. Bagryanskaya I.Yu., Gatilov Yu.V., Zibarev A.V. // *Ibid.* – P. 157.
40. Makarov A.Yu., Bagryanskaya I.Yu., Gatilov Yu.V. и др. // *Heteroat. Chem.* – 2001. – **12**, N 7. – P. 563.
41. Lork E., Mews R., Shakirov M.M. et al. // *Eur. J. Inorg. Chem.* – 2001. – P. 2123.
42. Gieren A., Betz H., Hubner T. et al. // *Z. Anorg. Allg. Chem.* – 1984. – **513**. – S. 160.
43. Busetti V., Cevasco G., Leandri G. // *Z. Kristallogr.* – 1991. – **197**. – S. 41.
44. Herberhold M., Gerstmann S., Milius W. // *Phosphorus, Sulfur, Silicon, Relat. Elem.* – 1996. – **112**. – P. 261.
45. Lork E., Mews R., Shakirov M.M. et al. // *J. Fluor. Chem.* – 2002. – **115**. – P. 165.
46. Bagryanskaya I.Yu., Gatilov Yu.V., Lork E. et al. // *Ibid.* – **116**. – P. 149.
47. Maaninen T., Tuononen H.M., Kosunen K. et al. // *Z. Anorg. Allg. Chem.* – 2004. – **630**. – P. 1947.
48. Maaninen T., Laitinen R., Chivers T. // *Chem. Commun.* – 2002. – P. 1812.
49. Jones R., Williams D.J., Wood P.T., Woollins J.D. // *Polyhedron.* – 1989. – **8**. – P. 91.
50. Makarov A.Yu., Lork E., Mews R., Zibarev A.V. // *J. Fluor. Chem.* – 2006. – **127**. – P. 437.
51. Zibarev A.V., Gatilov Yu.V., Bagryanskaya I.Yu. et al. // *Polyhedron.* – 1992. – **11**. – P. 2787.
52. Багрянская И.Ю., Гатилов Ю.В., Шакиров М.М., Зубарев А.В. // Журн. структур. химии. – 1996. – **37**, № 2. – С. 363.
53. Makarov A.Yu., Bagryanskaya I.Yu., Blockhuys F. et al. // *Europ. J. Inorg. Chem.* – 2003. – N 1. – P. 77.
54. Bagryanskaya I.Yu., Gatilov Yu.V., Shakirov M.M., Zibarev A.V. // *Mendeleev Commun.* – 2002. – N5. – P. 167.
55. Leitch J., Nyburg S.C., Armitage D.A., Clark M.J. // *J. Cryst. Mol. Struct.* – 1973. – **3**. – P. 337.
56. Olsen F.P., Barrick J.C. // *Inorg. Chem.* – 1973. – **12**. – P. 1353.
57. Tersago K., Bagryanskaya I.Yu., Gatilov Yu.V. et al. // *Europ. J. Inorg. Chem.* – 2007. – P. 1958.
58. Tersago K., Mandado M., Van Alsenoy Ch. et al. // *Chem. Eur. J.* – 2005. – **11**, N 15. – P. 4544.
59. Zibarev A.V., Miller A.O., Gatilov Yu.V., Furin G.G. // *Heteroat. Chem.* – 1990. – P. 443.
60. Roesky H.W., Sundermeyer J., Noltemeyer M. et al. // *Z. Naturforsch., B: Chem. Sci.* – 1986. – **41**. – S. 53.
61. Witt M., Roesky H.W., Noltemeyer M. et al. // *Angew. Chem., Int. Ed.* – 1981. – **20**. – P. 974.
62. Wolmershauser G., Mann P.R. // *Z. Naturforsch., B: Chem. Sci.* – 1991. – **46**. – S. 315.
63. Blockhuys F., Gritsan N.P., Makarov A.Yu. et al. // *Eur. J. Inorg. Chem.* – 2008. – P. 655.
64. Cozzolino A.F., Britten J.F., Vargas-Baca I. // *Cryst. Growth Des.* – 2006. – **6**. – P. 181.
65. Cozzolino A.F., Vargas-Baca I., Mansour S., Mahmoudkhani A.H. // *J. Amer. Chem. Soc.* – 2005. – **127**. – P. 3184.
66. Багрянская И.Ю., Барташевич Е.В., Никулов Д.К. и др. // Журн. структур. химии. – 2009. – **50**, № 1. – С. 133.
67. Roesky H.W., Wehner E., Zehnder E.-J. et al. // *Chem. Ber.* – 1978. – **111**. – P. 1670.
68. Ono K., Tanaka S., Yamashita Y. // *Angew. Chem., Int. Ed.* – 1994. – **33**. – P. 1977.
69. Karikomi M., Kitamura C., Tanaka S., Yamashita Y. // *J. Amer. Chem. Soc.* – 1995. – **117**. – P. 6791.
70. Brusso J.L., Clements O.P., Haddon R.C. et al. // *Ibid.* – 2004. – **126**. – P. 8256.
71. Gieren A., Betz H., Hubner T. et al. // *Z. Naturforsch., B: Chem. Sci.* – 1984. – **39**. – S. 485.
72. Gieren A., Lamm V., Haddon R.C. et al. // *Ibid.* – 1984. – **39**. – S. 975.
73. Barclay T.M., Cordes A.W., Haddon R.C. et al. // *J. Amer. Chem. Soc.* – 1999. – **121**. – P. 969.
74. Barclay T.M., Cordes A.W., George N.A. et al. // *Ibid.* – 1998. – **120**. – P. 352.
75. Khan M.S., Ahrens B., Mahon M.F. et al. // *Acta Crystallogr., Sect. E: Struct. Rep. Online.* – 2002. – **58**. – P. o1202.
76. Tanaka S., Tomura M., Yamashita Y. // *Heterocycles.* – 1994. – **37**. – P. 693.
77. Jones R., Morris J.L., Potts A.W. et al. // *Chem. Commun.* – 1985. – P. 398.
78. Codding P.W., Koenig H., Oakley R.T. // *Canad. J. Chem.* – 1983. – **61**. – P. 1562.
79. Zhivonitko V.V., Makarov A.Yu., Bagryanskaya I.Yu. et al. // *Eur. J. Inorg. Chem.* – 2005. – P. 4099.
80. Cordes A.W., Hojo M., Koenig H. et al. // *Inorg. Chem.* – 1986. – **25**. – P. 1137.
81. Zibarev A.V., Gatilov Yu.V., Miller A.O. // *Polyhedron.* – 1992. – **11**. – P. 1137.
82. Bagryanskaya I.Yu., Gatilov Yu.V., Makarov A.Yu. et al. // *Heteroat. Chem.* – 1999. – **10**, N2. – P. 113.

83. Makarov A.Yu., Kim S.N., Gritsan N.P. et al. // Mendeleev Commun. – 2005. – N 1. – P. 14.
84. Bagryanskaya I.Yu., Bock H., Gatilov Yu.V. et al. // Chem. Ber. Recueil. – 1997. – **130**. – P. 247.
85. Makarov A.Yu., Shakirov M.M., Shubaev K.V. et al. // Chem. Commun. – 2001. – N 18. – P. 1774.
86. Makarov A.Yu., Tersago K., Nivesanond K. et al. // Inorg. Chem. – 2006. – **45**. – P. 2221.
87. Bagryanskaya I.Yu., Gatilov Yu.V., Miller A.O. et al. // Heteroat. Chem. – 1994. – **5**. – P. 561.
88. Gomes A.C., Biswas G., Banerjee A., Duax W.L. // Acta Crystallogr., Sect. C: Crystallogr. Struct. Commun. – 1989. – **45**. – P. 73.
89. Mellini M., Merlino S. // Acta Crystallogr., Sect. B: Struct. Crystallogr. Cryst. Chem. – 1976. – **32**. – P. 1074.
90. Климаненко Н.Л., Чемкина Л.А., Гольдер Г.А. // Журн. структур. химии. – 1973. – **14**. – С. 515.
91. Ueda T., Shibata Y., Sakakibara J. et al. // Chem. Pharm. Bull. – 1982. – **30**. – P. 3424.
92. Suzuki T., Tsuji T., Okubo T. et al. // J. Org. Chem. – 2001. – **66**. – P. 8954.
93. Velusamy M., Thomas K.R.J., Lin J.T. et al. // Tetrahedron Lett. – 2005. – **46**. – P. 7647.
94. Gieren A., Lamm V., Haddon R.C. // Z. Naturforsch., B: Chem. Sci. – 1984. – **39**. – S. 975.
95. Gieren A., Lamm V., Haddon R.C., Kaplan M.L. // J. Amer. Chem. Soc. – 1980. – **102**. – P. 5070.
96. Bertini V., Dapporto P., Lucchesini F. et al. // Acta Crystallogr., Sect. C: Crystallogr. Struct. Commun. – 1984. – **40**. – P. 653.
97. Neidlein R., Knecht D., Gieren A., Ruiz-Perez C. // Z. Naturforsch., B: Chem. Sci. – 1987. – **42**. – S. 84.
98. Гринева О.В., Зоркий П.М. // Журн. физ. химии. – 2000. – **74**, № 11. – С. 1937.
99. Рыболова Т.В., Багрянская И.Ю. // Журн. структур. химии. – 2009. – **50**, № 4. – P. 593.
100. Williams J.H. // Acc. Chem. Res. – 1993. – **26**. – P. 593.